

## **22. Оптимално по бързодействие управление на линейни колебателни обекти. Пример.**

### **1. Теоретични сведения**

- Оптималната линия на превключване (ОЛП) на колебателните обекти е сложна крива, само първата дъга на която (минаваща през координатното начало) е възможна част от фазова траектория.
- За линейните колебателни и за нелинейните обекти теоремата за  $n$ -те интервала не е изпълнена.
- Анализът на фазовия портрет на оптималната по бързодействие система "колебателен обект – управляващо устройство" показва, че броят на интервалите в оптималния преходен процес не е равен на реда на обекта, а зависи от началните условия. Този факт произтича непосредствено от принципа на максимума на Понтрягин.

## 22. Оптимално управление на линейни колебателни обекти.

### 2. Пример

Разглежда се оптимално по бързодействие управление на консервативен обект

$$\ddot{y} + y = u, \quad |u| \leq 1. \quad (1)$$

Обектът трябва да се приведе от произволно начално състояние  $\mathbf{X}(0) = \mathbf{X}_0$  в крайно състояние  $\mathbf{X}(T) = \mathbf{X}_T = (0;0)^T$  за минимално време  $T$ . Компонентите на вектора на състоянието са избрани  $x_1 = y$  и  $x_2 = \dot{y}$ , при което (1) приема вида

$$\begin{aligned} \dot{x}_1 &= x_2 \\ \dot{x}_2 &= -x_1 + u, \end{aligned} \quad (2)$$

Хамилтонианът в принципа на максимума

$$H = \sum_{i=1}^2 \psi_i f_i = \psi_1 x_2 - \psi_2 x_1 + \psi_2 u$$

е записан за  $\psi_0 = 0$  ( $\psi_0 \leq 0$ , обикновено  $\psi_0 = -1$ ). Въз основа на принципа на максимума управлението се получава във вида

$$u(t) = -\text{sign} \psi_2(t). \quad (3)$$

Уравненията за спрегнатия вектор  $\Psi(t)$  са:

$$\begin{aligned} \frac{d\psi_1}{dt} &= -\frac{\partial H}{\partial x_1} = \psi_2 \\ \frac{d\psi_2}{dt} &= -\frac{\partial H}{\partial x_2} = -\psi_1. \end{aligned} \quad (4)$$

## 22. Оптимално управление на линейни колебателни обекти.

След изключване на  $\psi_1$  от уравнение (4) за  $\psi_2$  се получава

$$\frac{d^2\psi_2}{dt^2} + \psi_2 = 0 . \quad (5)$$

Корените на характеристичното уравнение на (5) са чисто имагинерни  $\lambda_\psi = \pm i$  и следователно решението на (5) е от вида

$$\psi_2(t) = C \sin(t + \varphi), \quad C > 0, \quad 0 \leq \varphi < \pi , \quad (6)$$

където  $C$  и  $\varphi$  са интеграционни константи, които се определят от началните условия:

$$\begin{aligned} C \sin \varphi &= \psi_2(0) ; \\ -C \cos \varphi &= \psi_1(0) . \end{aligned}$$

Замествайки (6) в (3) се получава оптималният управляващ закон:

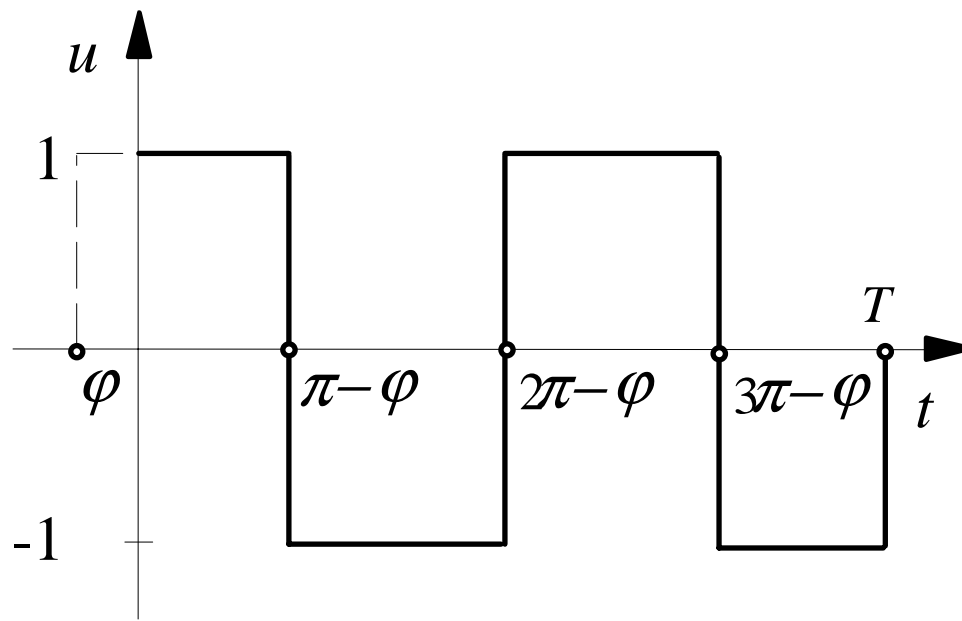
$$u(t) = -\text{sign}(\sin(t + \varphi)), \quad (7)$$

където  $C$  е отстранено, тъй като не влияе върху знака на (6).

## 22. Оптимално управление на линейни колебателни обекти.

Следователно  $u(t) = -\text{sign}(\sin(t + \varphi))$  е отсечково-постоянна функция, приемаща редуващи се стойности  $u(t) = \pm 1$  в продължение на интервали не по-дълги от  $\pi$ . В зависимост от началните условия броят на интервалите на постоянство на знака ще бъде различен (теоремата за  $n$ -те интервала не е в сила, защото корените на характеристичното уравнение на обекта (6.1) са имагинерни  $\lambda_y = \pm i$ ).

*Оптимално по бързодействие програмно управление за консервативен обект:*



## 22. Оптимално управление на линейни колебателни обекти.

За затваряне на системата по координатите на състоянието се разглежда фазовият портрет (ФП) на системата. За построяването му времето  $t$  се изключва от уравненията на системата (2) чрез разделяне второто уравнение на първото

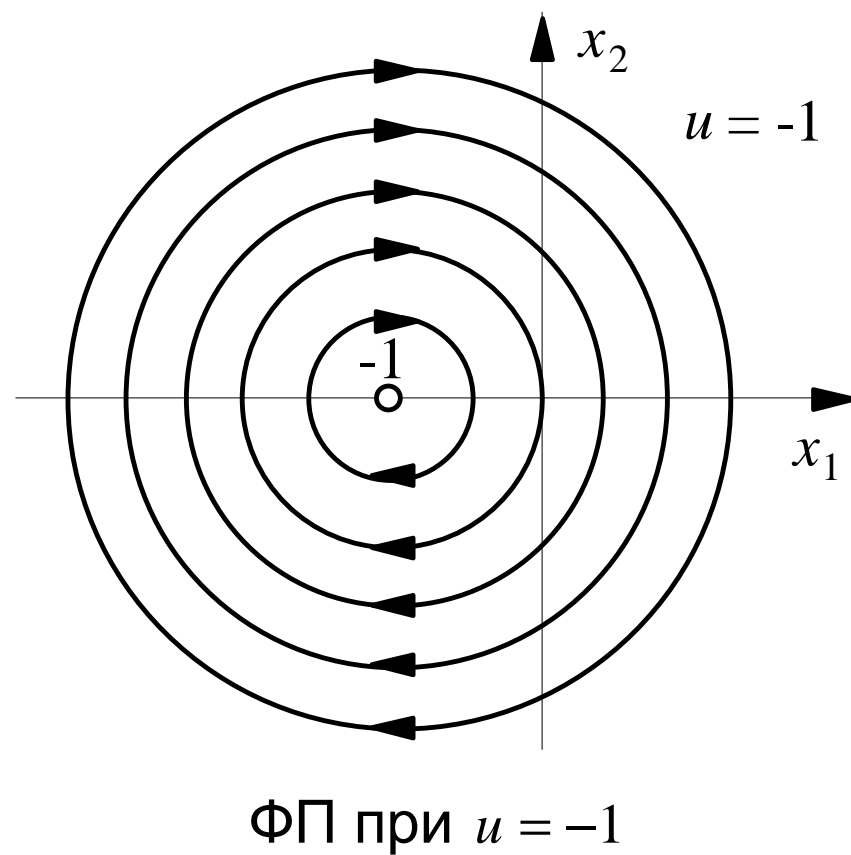
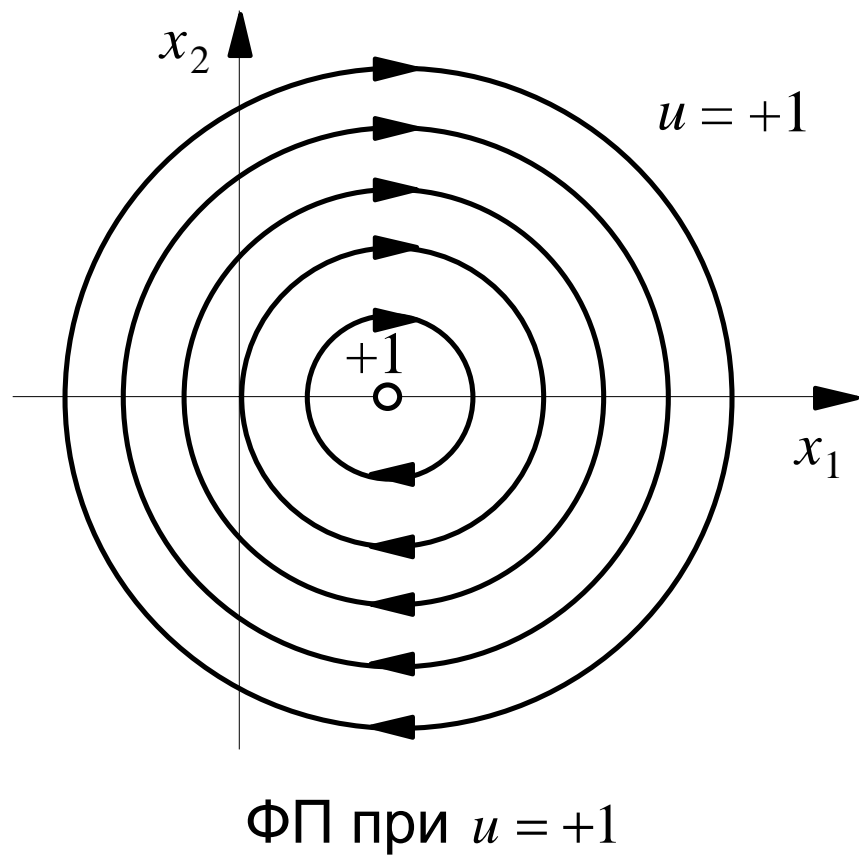
$$\frac{dx_2}{dx_1} = \frac{-x_1 + u}{x_2}, \quad u = \pm 1. \quad (8)$$

Разделяйки променливите и интегрирайки (8) се получават фазовите траектории

$$(x_1 - u)^2 + x_2^2 = C, \quad (9)$$

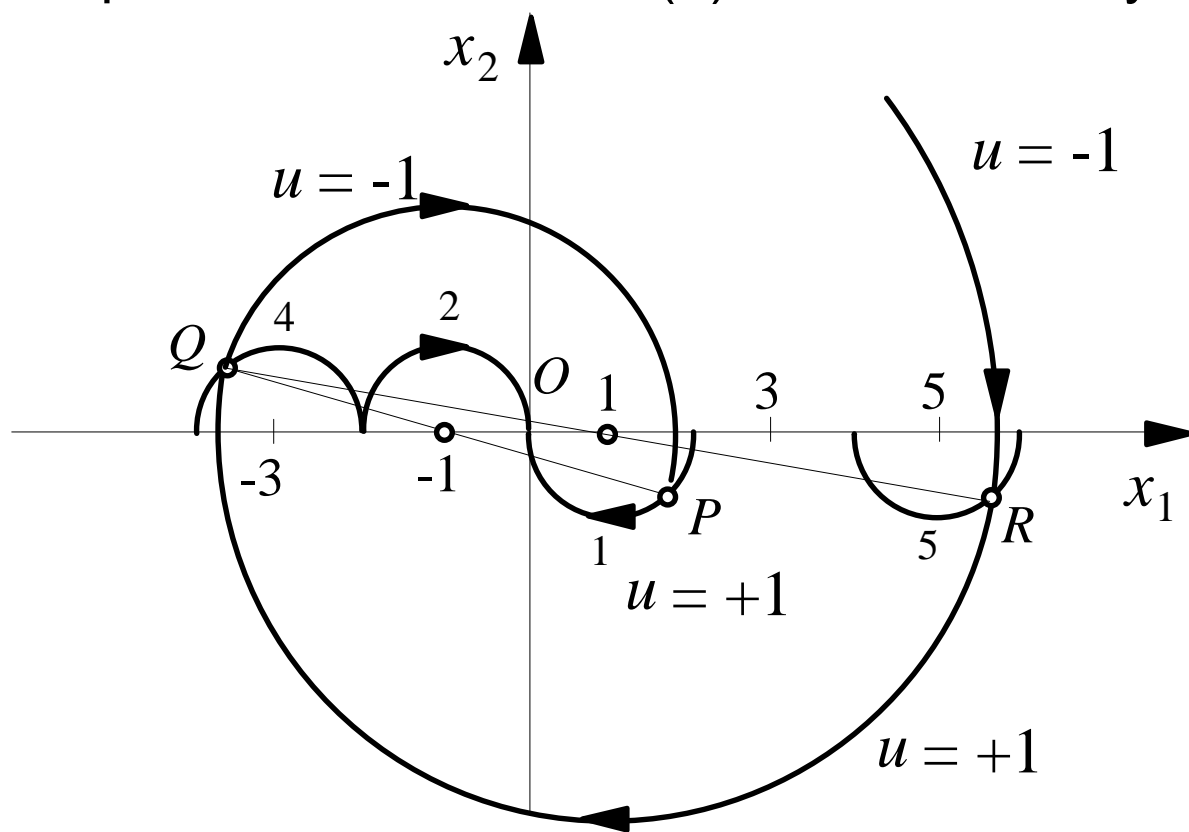
където интеграционната константа  $C$  се определя от началните условия  $x_1(0)$  и  $x_2(0)$ . От (9) следва, че при  $u = +1$  фазовите траектории са семейство окръжности с радиус  $\sqrt{C}$  и център в точката  $(+1;0)$ , а при  $u = -1$  - с център  $(-1;0)$ .

22. Оптимално управление на линейни колебателни обекти.



## 22. Оптимално управление на линейни колебателни обекти.

Показани са фазовите траектории (полуокръжности с радиус единица), които водят към координатното начало (траектория 1 - при  $u = +1$ , траектория 2 - при  $u = -1$ ) по които трябва да завършва оптималният процес. Траекториите 1 и 2 са полуокръжности, тъй като управлението  $u(t)$  има постоянен знак в интервала  $T_0 \leq \pi$ , а за време  $\pi$  изображаващата точка по коя да е траектория от семейството (9) изминава полуокръжност.



Решението на системата (2) при  $u = \pm 1$  е

$$\begin{aligned}x_1(t) &= u + B \sin(t + \beta) \\x_2(t) &= -B \cos(t + \beta),\end{aligned}\tag{10}$$

където  $B$  и  $\beta$  са интеграционни константи, определящи се от началните условия  $x_1(0)$  и  $x_2(0)$ . Изхождайки от (10) след време  $\pi$  движението на изобразяващата точка ще се описва с

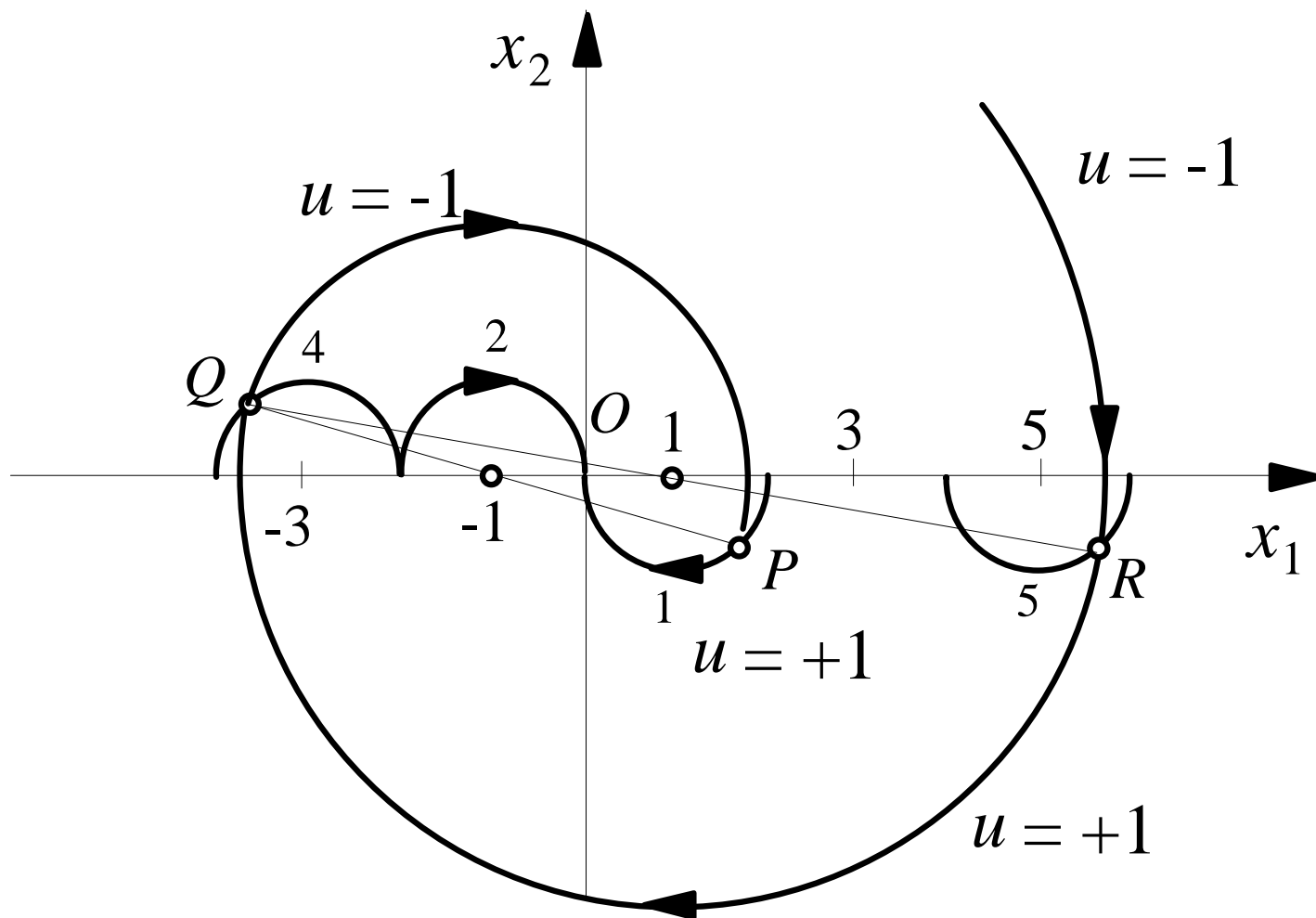
$$\begin{aligned}x_1(t + \pi) &= u + B \sin(t + \pi + \beta) = u - B \sin(t + \beta), \\x_2(t + \pi) &= -B \cos(t + \pi + \beta) = B \cos(t + \beta).\end{aligned}\tag{11}$$

От (10) и (11) се вижда, че след време  $\pi$ , след като се извърви полуокръжност се стига до точка симетрична на началната по отношение на центъра  $(u; 0)$ .



## 22. Оптимално управление на линейни колебателни обекти.

Построяване на ОЛП за обект консервативно звено

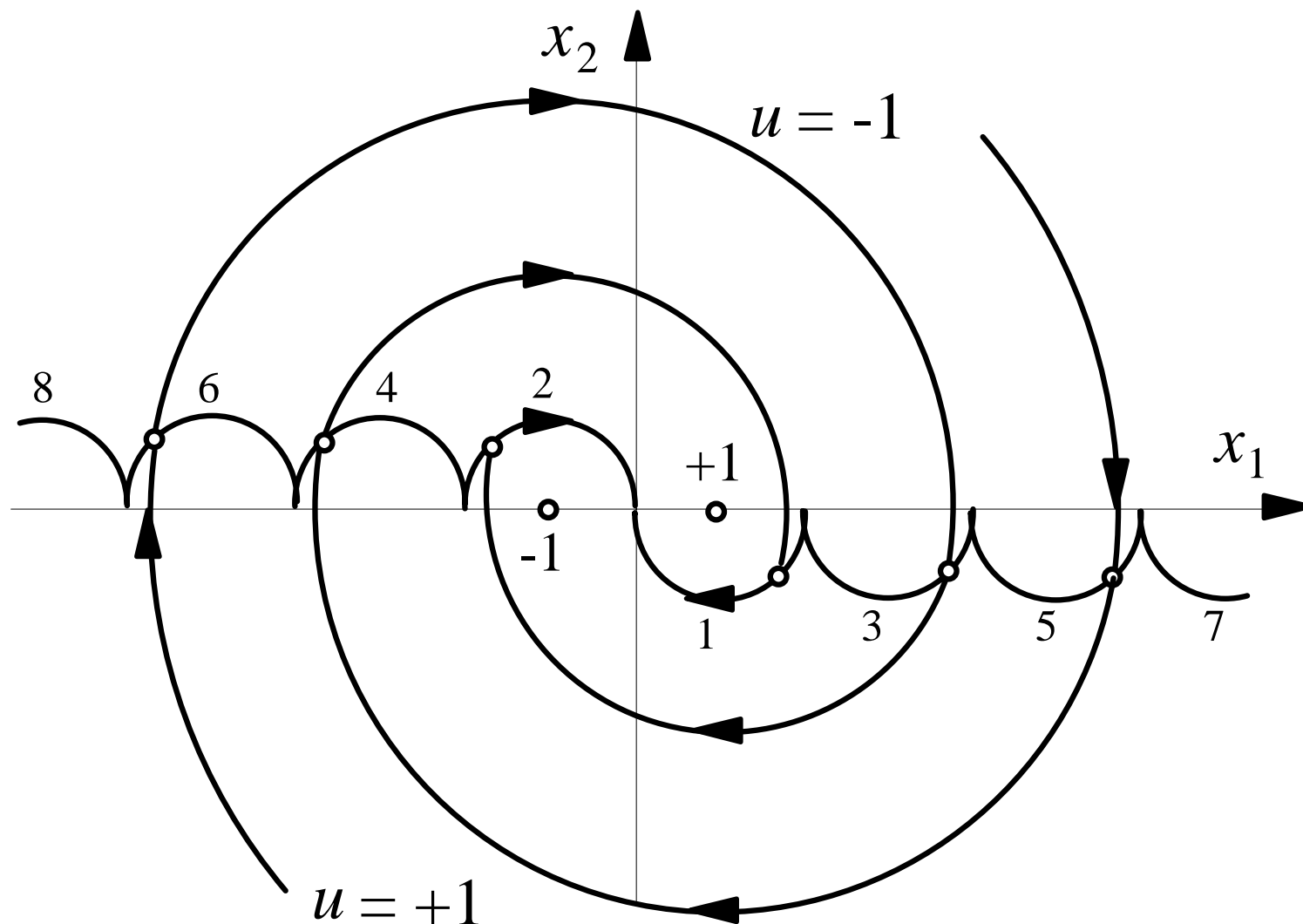


## 22. Оптимално управление на линейни колебателни обекти.

Нека последният участък ( $u = +1$ ) от оптималната фазова траектория (\*) започва в т.  $P$  и завършва в координатното начало. Точка  $P$  е последна за предходния интервал ( $u = -1$ ) започващ от т.  $Q$ , която е симетрична на т.  $P$  по отношение на центъра  $(-1;0)$ . Времето за движение по полуокръжността  $QP$  е  $\pi$ . Ако т.  $P$  заеме всички възможни положения по полуокръжността 1, то ще се получи полуокръжност 4 с радиус 1 и център в точката  $(-3;0)$ . По аналогичен начин се намира кривата 5 от която започват фазовите траектории при  $u = +1$ , завършващи след време  $\pi$  на кривата 4. Кривата 5 е полуокръжност с център  $(5;0)$  и радиус 1, симетрична относно точката  $(+1;0)$  на полуокръжността 4. Построенията са аналогични, когато оптималната траектория завършва върху полуокръжността 2 ( $u = -1$ ). В резултат се получава фазовият портрет на оптималната система на (\*\*), където ОЛП е съставена от полуокръжностите ...8,6,4,2,1,3,5,7.... Сред тях само 1 и 2 са фазови траектории на системата.

## 22. Оптимално управление на линейни колебателни обекти.

ФП на оптималната по бързодействие система за обект,  
описван с (2):



## 22. Оптимално управление на линейни колебателни обекти.

- Разгледан е частен случай на консервативно звено с параметри  $k=1$  и  $T=1\text{s}$ .
- При други стойности на параметрите на звеното, фазовите траектории са концентрични елипси, а не окръжности.
- Ако звеното е колебателно фазовите му траектории са спирали и кривите 1 и 2 от ОЛП ще бъдат части от спирали.